

ESPECIFICACIONES IDCO
DE LATITUDE INTEGRATION

LATITUDE™ NXT
Sistema de seguimiento de pacientes

Outdated version. Do not use.
Version überholt. Nicht verwenden.
Version obsolète. Ne pas utiliser.
Versión obsoleta. No utilizar.
Versione obsoleta. Non utilizzare.
Verouderde versie. Niet gebruiken.
Föråldrad version. Använd ej.
Παλιά έκδοση. Μην την χρησιμοποιείτε.
Versão obsoleta. Não utilize.
Forældet version. Må ikke anvendes.
Zastaralá verze. Nepoužívat.
Utdatert versjon. Skal ikke brukes.
Zastaraná verzia. Nepoužívať.
Elavult verzió. Ne használja!
Wersja nieaktualna. Nie używać.

Outdated version. Do not use.
Version überholt. Nicht verwenden.
Version obsolète. Ne pas utiliser.
Versión obsoleta. No utilizar.
Versione obsoleta. Non utilizzare.
Verouderde versie. Niet gebruiken.
Föråldrad version. Använd ej.
Παλιά έκδοση. Μην την χρησιμοποιείτε.
Versão obsoleta. Não utilize.
Forældet version. Må ikke anvendes.
Zastaralá verze. Nepoužívat.
Utdatert versjon. Skal ikke brukes.
Zastaraná verzia. Nepoužívať.
Elavult verzió. Ne használja!
Wersja nieaktualna. Nie używać.

TABLA DE CONTENIDOS

Perspectiva general	1
Especificaciones de mensajes IDCO LATITUDE	1
Estructura de un segmento	1
Estructura de un segmento MSH	1
Estructura de un segmento PID	2
Estructura de un segmento PV1	2
Estructura de un segmento PV2	2
Estructura de un segmento OBR	2
Estructura de un segmento OBX	3
Parámetros de salida	3
Definiciones de alertas y advertencias	3
Informes	3
Términos básicos	4
Conversión de datos del dispositivo implantado en mensajes IDCO	9
Estado de la batería	9
SET_BRADY_SENSOR_TYPE	9
Mapeo de episodios	10
Mapeo de contadores	11
Mapeo de configuración del cable	12
Limitaciones del sistema	12
Definiciones de alertas y advertencias	13
Informes	13
Ejemplo de archivo IDCO	14

Outdated version. Do not use.
Version überholt. Nicht verwenden.
Version obsolète. Ne pas utiliser.
Versión obsoleta. No utilizar.
Versione obsoleta. Non utilizzare.
Verouderde versie. Niet gebruiken.
Föråldrad version. Använd ej.
Παλιά έκδοση. Μην την χρησιμοποιείτε.
Versão obsoleta. Não utilize.
Forældet version. Må ikke anvendes.
Zastaralá verze. Nepoužívat.
Utdatert versjon. Skal ikke brukes.
Zastaraná verzia. Nepoužívať.
Elavult verzió. Ne használja!
Wersja nieaktualna. Nie używać.

LATITUDE y RYTHMIQ son marcas comerciales de Boston Scientific Corporation o sus afiliadas.

Perspectiva general

El sistema de monitorización remota de pacientes LATITUDE de Boston Scientific crea mensajes de Dispositivo implantable - Cardíaco - Observación (IDCO) de acuerdo con las especificaciones y definiciones publicadas en este documento. Estos mensajes son conformes al perfil Integrating the Healthcare Enterprise (IHE) Patient Care Device (PCD) Technical Framework IDCO. Estos mensajes se utilizan para proporcionar datos del paciente al sistema de archivos médicos electrónicos (EMR) o al sistema de información clínica (CIS).

Este documento está destinado a los clientes de LATITUDE de Boston Scientific (BSC) que (1) integran mensajes IDCO en un EMR y que (2) utilizan sistemas EMR o CIS para el seguimiento y la gestión de los datos de los pacientes. La primera sección de este documento ("Especificaciones de mensajes IDCO LATITUDE") está destinada principalmente al personal técnico encargado de la integración de mensajes, mientras que la segunda sección está destinada esencialmente al médico, como una aclaración detallada de la versión de Boston Scientific de los datos incluidos en el mensaje.

NOTA: Se da por supuesto que los lectores de esta sección conocen la terminología HL7 e IDCO, la sintaxis de especificaciones, los tipos de datos, la estructura de los mensajes y la semántica de los mensajes IDCO. Para obtener más información, véase:

- www.hl7.org para mensajes HL7
- www.ihe.net para mensajes IDCO
- http://ihe.net/Technical_Framework/index.cfm#pcd para PCD-09 Technical Framework (compuesto por vol. 1, 2 y 3)
- <http://standards.ieee.org/findstds/standard/11073-10103-2012.html> para la nomenclatura IEEE IDCO

Especificaciones de mensajes IDCO LATITUDE

El mensaje LATITUDE IDCO es un mensaje PCD-09 conforme a IHE PCD Technical Framework Revision 2.0, 16 de agosto, 2012. Según el plan técnico, el mensaje es un mensaje de observaciones y peticiones no solicitado del estándar HL7 v2.6 que contiene observaciones extraídas del dispositivo implantado y codificadas mediante la nomenclatura IEEE 11073-10103 IDC. Este estándar internacional describe un modelo universal para la interoperabilidad de datos médicos electrónicos.

Los valores indicados entre comillas en las columnas de valor de las tablas mostradas a continuación indican los valores preprogramados que aparecerán tal y como se muestra. Los valores sin comillas indican un ejemplo o una descripción del valor.

Estructura de un segmento

Todos los datos enviados son conformes a PCD-09. La información incluida en esta sección pretende definir los valores de salida de BSC para los mensajes IDCO. No es exhaustiva y no está prevista para definir con más detalle la nomenclatura IDCO.

Estructura de un segmento MSH

El segmento MSH contiene información acerca del remitente y destinatario del mensaje, el tipo de mensaje, un registro de fecha/hora, etc., y es el primer segmento de cada mensaje IDCO.

NOMBRE DEL ELEMENTO	SEC	SUB SEC	VALOR
Aplicación remitente	3		"LATITUDE"
Instalación remitente	4		"BOSTON SCIENTIFIC"
Instalación destinataria	6		Nombre de la clínica de LATITUDE
Conjunto de caracteres	18		"UNICODE UTF-8"

Estructura de un segmento PID

El segmento PID contiene información identificadora del paciente como su nombre, códigos de identificación, código postal, etc. Esta información se utiliza para cotejar pacientes.

NOMBRE DEL ELEMENTO	SEC	SUB SEC	VALOR
ID de espacio de nombres	3	4	"BSX"

Estructura de un segmento PV1

El segmento PV1 (Visita del paciente) contiene información sobre el médico responsable del paciente.

NOMBRE DEL ELEMENTO	SEC	SUB SEC	VALOR
Clase de paciente	2		"R"

Estructura de un segmento PV2

El segmento PV2 (Visita del paciente 2) contiene información sobre el grupo LATITUDE del paciente.

NOMBRE DEL ELEMENTO	SEC	SUB SEC	VALOR
Nombre de la organización (grupo)	23	1	Nombre del grupo de LATITUDE Ejemplo: Cardiología
Número de ID (grupo principal o secundario del paciente)		3	1 Véase la nota 1

Notas de PV2

1. El valor será "1" si el archivo HL7 está asociado al grupo LATITUDE principal y será "2" si está asociado al grupo LATITUDE secundario.

Estructura de un segmento OBR

Los segmentos OBR son los encabezados de sección para segmentos de información de interrogación OBX individuales. Contienen datos como registros de fecha/hora, identificadores de informes e identificadores exclusivos generados por el sistema.

NOMBRE DEL ELEMENTO	SEC	SUB SEC	VALOR COMO EJEMPLO
Identificador de servicio universal	4		
Identificador		1	754053
Texto		2	Véase la nota 1
N.º de fecha/hora de la observación	7		20060429080005+0000 Véase la nota 2
Estado de resultados	25		"F" Véase la nota 3

Notas de OBR

1. Este texto de identificador de servicio universal tendrá el formato MDC_IDC_ENUM_SESS_TYPE_{tipo de sesión} (ej., MDC_IDC_ENUM_SESS_TYPE_RemoteScheduled).
2. La fecha/hora de la observación será el registro de la fecha/hora del momento en que se produjo la interrogación del dispositivo implantado. El registro de fecha/hora se mostrará en la zona horaria configurada para el paciente.
3. El estado del resultado será "F" (resultados finales).

Estructura de un segmento OBX

Los segmentos OBX contienen datos recopilados durante la interrogación más reciente del dispositivo.

NOMBRE DEL ELEMENTO	SEC	SUB SEC	VALOR COMO EJEMPLO
Estado de resultados de la observación	11		"F" Véase la nota 1
Fecha/hora de la observación	14		20060317170000+0000 Véase la nota 2

Notas de OBX

1. El estado del resultado será "F" (resultados finales).
2. La fecha de la medición se incluirá si la fecha de la medición es diferente de la fecha de la observación en OBR.

Parámetros de salida

- Las cadenas se enviarán en el idioma configurado para la clínica en LATITUDE.
- Los valores numéricos se enviarán siempre utilizando el punto "." como carácter separador (ej. punto decimal).

Definiciones de alertas y advertencias

- En caso de una advertencia, un NTE de advertencia precederá a uno o más NTE de alerta. Un NTE de advertencia incluirá una o más advertencias en un NTE.
- En caso de una alerta, habrá un NTE para cada alerta.

Informes

Informe de EGM de presentación

Si está disponible en los datos recibidos del GI, el Informe de EGM de presentación se adjunta al mensaje como un PDF y se asocia con el episodio adecuado de APMRT usando el ID de grupo (OBX-4) para el episodio de APMRT.

Informe combinado de seguimiento

Un Informe combinado de seguimiento se adjunta al mensaje como un PDF en un OBX independiente.

Términos básicos

La siguiente tabla presenta los términos de nomenclatura que se pueden incluir en un mensaje IDCO de BSC.

PREFIJO DE ID DE REFERENCIA MDC_IDC_	NOMBRE DE VISUALIZACIÓN
DEV	Dispositivo cardiaco implantable
DEV_TYPE	Tipo de dispositivo cardiaco implantable
DEV_MODEL	Modelo de dispositivo cardiaco implantable
DEV_SERIAL	Número de serie de dispositivo cardiaco implantable
DEV_MFG	Fabricante de dispositivo cardiaco implantable
DEV_IMPLANT_DT	Fecha de implante de dispositivo cardiaco implantable
LEAD	Atributos de cable implantable
LEAD_MODEL	Modelo de cable implantable
LEAD_SERIAL	Número de serie de cable implantable
LEAD_MFG	Fabricante de cable implantable
LEAD_IMPLANT_DT	Fecha de implante de cable implantable
LEAD_POLARITY_TYPE	Tipo de polaridad de cable implantable
LEAD_LOCATION	Ubicación de cable implantable
LEAD_LOCATION_DETAIL_1	Detalle 1 de ubicación de cable implantable
SESS	Sesión de interrogación
SESS_DTM	Fecha y hora de sesión de interrogación
SESS_TYPE	Tipo de sesión de interrogación
SESS_CLINIC_NAME	Nombre de la clínica
MSMT	Mediciones
MSMT_BATTERY	Mediciones de batería
MSMT_BATTERY_DTM	Fecha y hora de mediciones de batería
MSMT_BATTERY_STATUS	Estado de la batería
MSMT_BATTERY_REMAINING_LONGEVITY	Longevidad restante de la batería
MSMT_BATTERY_REMAINING_PERCENTAGE	Porcentaje restante de la batería
MSMT_CAP	Mediciones de condensadores
MSMT_CAP_CHARGE_DTM	Fecha y hora de última carga de condensadores
MSMT_CAP_CHARGE_TIME	Tiempo de carga de condensadores
MSMT_CAP_CHARGE_TYPE	Tipo de carga de condensadores
MSMT_LEADCHNL_[CHAMBER]	Mediciones de canales de cables
MSMT_LEADCHNL_[CHAMBER]_DTM_[STRTEND]	Fecha y hora de mediciones de canales de cables
MSMT_LEADCHNL_[CHAMBER]_LEAD_CHANNEL_STATUS	Estado de canales de cables

PREFIJO DE ID DE REFERENCIA MDC_IDC_	NOMBRE DE VISUALIZACIÓN
MSMT_LEADCHNL_[CHAMBER]_SENSING	Medidas de detección de canales de cables
MSMT_LEADCHNL_[CHAMBER]_SENSING_INTR_AMPL_[MMM]	Amplitud intrínseca de detección de canales de cables
MSMT_LEADCHNL_[CHAMBER]_SENSING_POLARITY	Polaridad de detección de canales de cables
MSMT_LEADCHNL_[CHAMBER]_PACING_THRESHOLD	Medidas de umbral de estimulación de canales de cables
MSMT_LEADCHNL_[CHAMBER]_PACING_THRESHOLD_AMPLITUDE	Amplitud de umbral de estimulación de canales de cables
MSMT_LEADCHNL_[CHAMBER]_PACING_THRESHOLD_PULSEWIDTH	Ancho de impulso de umbral de estimulación de canales de cables
MSMT_LEADCHNL_[CHAMBER]_PACING_THRESHOLD_MEASUREMENT_METHOD	Método de mediciones de umbral de estimulación de canales de cables
MSMT_LEADCHNL_[CHAMBER]_PACING_THRESHOLD_POLARITY	Polaridad de umbral de estimulación de canales de cables
MSMT_LEADCHNL_[CHAMBER]_IMPEDANCE	Medidas de impedancia de canales de cables
MSMT_LEADCHNL_[CHAMBER]_IMPEDANCE_VALUE	Valor de impedancia de canales de cables
MSMT_LEADCHNL_[CHAMBER]_IMPEDANCE_POLARITY	Polaridad de impedancia de canales de cables
MSMT_LEADHVCHNL	Medidas de canales de alto voltaje de cables
MSMT_LEADHVCHNL_DTM_[STRTEND]	Fecha y hora de canales de alto voltaje de cables
MSMT_LEADHVCHNL_IMPEDANCE	Impedancia de canales de alto voltaje de cables
MSMT_LEADHVCHNL_MEASUREMENT_TYPE	Tipo de mediciones de canales de alto voltaje de cables
MSMT_LEADHVCHNL_STATUS	Estado de canales de alto voltaje de cables
SET	Parámetros
SET_CRT	Parámetros TRC
SET_CRT_LVRV_DELAY	Retardo VI-VD de TRC
SET_CRT_PACED_CHAMBERS	Cámaras ventriculares estimuladas durante estimulación de TRC

PREFIJO DE ID DE REFERENCIA MDC_IDC_	NOMBRE DE VISUALIZACIÓN
SET_LEADCHNL_[CHAMBER]	Parámetros de canales de cables
SET_LEADCHNL_[CHAMBER]_SENSING	Detección de parámetros de canales de cables
SET_LEADCHNL_[CHAMBER]_SENSING_SENSITIVITY	Sensibilidad de detección de parámetros de canales de cables
SET_LEADCHNL_[CHAMBER]_SENSING_POLARITY	Polaridad de detección de parámetros de canales de cables
SET_LEADCHNL_[CHAMBER]_SENSING_ANODE_LOCATION_[1..3]	Ubicación del ánodo de detección de parámetros de canales de cables
SET_LEADCHNL_[CHAMBER]_SENSING_ANODE_ELECTRODE_[1..3]	Terminal del ánodo de detección de parámetros de canales de cables
SET_LEADCHNL_[CHAMBER]_SENSING_CATHODE_LOCATION_[1..3]	Ubicación del cátodo de detección de parámetros de canales de cables
SET_LEADCHNL_[CHAMBER]_SENSING_CATHODE_ELECTRODE_[1..3]	Terminal del cátodo de detección de parámetros de canales de cables
SET_LEADCHNL_[CHAMBER]_SENSING_ADAPTATION_MODE	Modo de adaptación de detección de parámetros de canales de cables
SET_LEADCHNL_[CHAMBER]_PACING	Estimulación de parámetros de canales de cables
SET_LEADCHNL_[CHAMBER]_PACING_AMPLITUDE	Amplitud de estimulación de parámetros de canales de cables
SET_LEADCHNL_[CHAMBER]_PACING_PULSEWIDTH	Ancho de impulso de estimulación de parámetros de canales de cables
SET_LEADCHNL_[CHAMBER]_PACING_POLARITY	Polaridad de estimulación de parámetros de canales de cables
SET_LEADCHNL_[CHAMBER]_PACING_ANODE_LOCATION_[1..3]	Ubicación del ánodo de estimulación de parámetros de canales de cables
SET_LEADCHNL_[CHAMBER]_PACING_ANODE_ELECTRODE_[1..3]	Terminal del ánodo de estimulación de parámetros de canales de cables
SET_LEADCHNL_[CHAMBER]_PACING_CATHODE_LOCATION_[1..3]	Ubicación del cátodo de estimulación de parámetros de canales de cables
SET_LEADCHNL_[CHAMBER]_PACING_CATHODE_ELECTRODE_[1..3]	Terminal del cátodo de estimulación de parámetros de canales de cables
SET_LEADCHNL_[CHAMBER]_PACING_CAPTURE_MODE	Modo de captura de parámetros de canales de cables

PREFIJO DE ID DE REFERENCIA MDC_IDC_	NOMBRE DE VISUALIZACIÓN
SET_BRADY	Parámetros de bradicardia
SET_BRADY_MODE	Modo de parámetros de bradicardia (Código NBG)
SET_BRADY_LOWRATE	Límite inferior de frecuencia de parámetros de bradicardia
SET_BRADY_SENSOR_TYPE	Tipo de sensor de parámetros de bradicardia
SET_BRADY_MAX_TRACKING_RATE	Límite superior de frecuencia de parámetros de bradicardia
SET_BRADY_MAX_SENSOR_RATE	Frecuencia máxima de sensor de parámetros de bradicardia
SET_BRADY_SAV_DELAY_[HIGHLOW]	Retardo AV detectado de parámetros de bradicardia
SET_BRADY_PAV_DELAY_[HIGHLOW]	Retardo AV estimulado de parámetros de bradicardia
SET_BRADY_AT_MODE_SWITCH_MODE	Modo de cambio de modo TA de parámetros de bradicardia
SET_BRADY_AT_MODE_SWITCH_RATE	Frecuencia de cambio modo TA de parámetros de bradicardia
SET_TACHYTHERAPY	Parámetros de terapia antitaquicardia
SET_TACHYTHERAPY_VSTAT	Estado ventricular de parámetros de terapia antitaquicardia
SET_ZONE	Parámetros de zona
SET_ZONE_TYPE	Categoría de tipo de parámetros de zona
SET_ZONE_VENDOR_TYPE	Categoría de tipo de proveedor de parámetros de zona
SET_ZONE_STATUS	Estado de parámetros de zona
SET_ZONE_DETECTION_INTERVAL	Intervalo de detección de parámetros de zona
SET_ZONE_TYPE_ATP_[1..10]	Tipo de ATP de parámetros de zona
SET_ZONE_NUM_ATP_SEQS_[1..10]	Número de secuencias de ATP de parámetros de zona
SET_ZONE_SHOCK_ENERGY_[1..10]	Energía de descarga de parámetros de zona
SET_ZONE_NUM_SHOCKS_[1..10]	Número de descargas de parámetros de zona
STAT	Estadísticas
STAT_DTM_[STRTEND]	Fecha y hora de la estadística
STAT_BRADY	Estadísticas de bradicardia
STAT_BRADY_DTM_[STRTEND]	Fecha y hora de estadística de bradicardia
STAT_BRADY_RA_PERCENT_PACED	Porcentaje de estimulación AD de la estadística de bradicardia
STAT_BRADY_RV_PERCENT_PACED	Porcentaje de estimulación VD de la estadística de bradicardia

PREFIJO DE ID DE REFERENCIA MDC_IDC_	NOMBRE DE VISUALIZACIÓN
STAT_AT	Estadísticas de Taqui Auricular
STAT_AT_DTM_[STRTEEND]	Fecha y hora de la estadística de Taqui Auricular
STAT_AT_BURDEN_PERCENT	Porcentaje de carga de TA/FA de la estadística de Taqui Auricular
STAT_CRT	Estadísticas de TRC
STAT_CRT_DTM_[STRTEEND]	Fecha y hora de la estadística de TRC
STAT_CRT_LV_PERCENT_PACED	Porcentaje de estimulación VI de la estadística de TRC
STAT_EPISODE	Estadísticas de episodios
STAT_EPISODE_TYPE	Categoría de tipo de estadística de episodios
STAT_EPISODE_TYPE_INDUCED	Tipo inducido de estadística de episodios
STAT_EPISODE_VENDOR_TYPE	Categoría de tipo de proveedor de estadística de episodios
STAT_EPISODE_RECENT_COUNT	Contador reciente de estadística de episodios
STAT_EPISODE_RECENT_COUNT_DTM_[STRTEEND]	Fecha y hora reciente de estadística de episodios
EPISODE	Episodio
EPISODE_ID	Identificador de episodio
EPISODE_DTM	Fecha y hora del episodio
EPISODE_TYPE	Categoría de tipo de episodio
EPISODE_TYPE_INDUCED	Bandera inducida de tipo de episodio
EPISODE_VENDOR_TYPE	Categoría de tipo de proveedor de episodio
EPISODE_ATRIAL_INTERVAL_AT_DETECTION	Intervalo auricular de detección de episodio
EPISODE_VENTRICULAR_INTERVAL_AT_DETECTION	Intervalo ventricular de detección de episodio
EPISODE_DETECTION_THERAPY_DETAILS	Detección de episodio y detalles de la terapia
EPISODE_DURATION	Duración del episodio

Conversión de datos del dispositivo implantado en mensajes IDCO

Estado de la batería

Enumeraciones para el mapa de parámetros de batería para el estado de batería de BSC según se detalla a continuación:

ESTADO DE LA BATERÍA DE BSC	ESTADO DE LA BATERÍA DE IDCO
BOL	BOS
OY	MOS
ERI	RRT
EOL	EOS

Cuando un dispositivo implantado introduce telemetría limitada, su estado de la batería podría ser ERI o EOL. Ambos estados de la batería producirán el mismo mensaje: ENUM_BATTERY_STATUS_RRT (ERI) en MSMT_BATTERY_STATUS con el registro de fecha/hora ERI en MSMT_BATTERY_DTM. Esta condición se aplica solamente a la telemetría limitada.

SET_BRADY_SENSOR_TYPE

El tipo de sensor se enviará como se muestra en la tabla a continuación.

VALOR ENVIADO PARA LA VARIABLE SET_BRADY_SENSOR_TYPE SEGÚN LA CONFIGURACIÓN DEL DISPOSITIVO IMPLANTADO	PARÁMETROS DEL DISPOSITIVO IMPLANTADO
"Acelerómetro"	Solo acelerómetro
"Ventilación minuto"	Solo VM
"Acelerómetro + VM"	Acelerómetro y VM

Los valores anteriores se enviarán si la frecuencia se genera por el sensor (ej., no se enviarán si el sensor tiene un estado de solo monitorización).

Los valores anteriores se enviarán si la frecuencia se genera en el modo de bradicardia normal o en RTA (ej., el valor no se corresponde con el modo de bradicardia normal).

Tenga en cuenta que "Sólo RTA" se puede mostrar en informes cuando el modo RTA sea un modo que responde a la frecuencia y el modo de bradicardia normal no responda a la frecuencia. En dicho caso, el texto (por ejemplo "Acelerómetro") se enviará al modo RTA. El usuario puede observar el modo bradicardia y el modo RTA, y determinar que la respuesta de frecuencia sea solo RTA.

Mapeo de episodios

Los episodios, contadores, etc., se enviarán en relación con la información que se incluye en la interrogación.

Se enviará la misma información inicialmente y en un reenvío posterior aunque haya otras interrogaciones en medio de ambas. Cabe destacar que la salida EMR no siempre coincidirá con lo que se muestra en el informe Quick Notes porque Quick Notes muestra episodios, alertas y contadores desde el último reinicio. Los episodios se representan mediante una combinación de tipos específicos del proveedor y normativos. Algunos tipos de episodios de Boston Scientific no se pueden representar únicamente en la nomenclatura IDCO actual.

ID DE EPISODIO DE BSC	TIPO DE EPISODIO DE BSC	TIPO DE EPISODIO NORMATIVO IDCO	TIPO DE EPISODIO ESPECÍFICO DEL PROVEEDOR IDCO
V-x	FV	FV	BSX-Zone_VF
V-x	TV	TV	BSX-Epis_VT
V-x	TV (V>A)	TV	BSX-Epis_VT
V-x	Taqui	Para dispositivos SSI, si el cable está en: <ul style="list-style-type: none"> • V – TV • A – TA/FA • No especificado – TV 	En blanco
V-x	NonSust	Para dispositivos SSI, si el cable está en: <ul style="list-style-type: none"> • V – TV • A – TA/FA • No especificado – TV 	En caso de A, en blanco, en caso contrario BSX-Epis_NSVT
V-x	TSV (V≤A)	TSV	BSX-Zone_SVT
V-x	TV-1	TV	BSX-Epis_VT-1
RMS-x	RMS	Otro	BSX-Epis_RMS
RYTHMIQ-x	RYTHMIQ	Otro	BSX-Epis_RMS
RTA-x	RTA	TAFA	BSX-Epis_ATR
TMM-x	TMM	Otro	BSX-Epis_PMT
RBS-x	RBS	Otro	Ninguno
TMM-x	TMM	Paciente activado	BSX-Epis_PTM
V-x	V obl	Otro	Ninguno
V-x	TVNS	TV	BSX-Epis_NSVT
APMTR-x	APM TR	EGM periódico	BSX-Epis_APMRT
AUVD-x	Auto VD	Otro	Ninguno
AUAD-x	Auto AD	Otro	Ninguno
TAVI-x	VI Auto	Otro	Ninguno
IRM-x	IRM	Otro	Ninguno

Mapeo de contadores

Algunos contadores se resumen antes de enviarse en el mensaje. Esto se debe a que no se pueden representar todos los contadores de Boston Scientific en la nomenclatura IDCO: Los valores de los contadores enviados corresponderán al último reinicio.

CONTADOR DE EPISODIOS DE BSC	TIPO DE EPISODIO NORMATIVO ESTADÍSTICO IDCO	TIPO DE EPISODIO ESPECÍFICO DEL PROVEEDOR ESTADÍSTICO IDCO
TV (V>A)	TV	BSX-Epis_VT
Taqui	TV	BSX-Epis_VT
NonSust	TV	BSX-Epis_NSVT
TVNS	TV	BSX-Epis_NSVT
TSV (V≤A)	TSV	BSX-Epis_SVT
RTA	TA/FA	BSX-Epis_ATR
IRM	Otro	Ninguno
FV	FV	BSX-Epis_VF
TV	TV	BSX-Epis_VT
TV-1	TV	BSX-Epis_VT-1
Manual	Otro	Ninguno
Ninguna terapia programada	Monitorización	Ninguno
Otros episodios no tratados	Otro	Ninguno
RMS	Otro	BSX-Epis_RMS
RYTHMIQ	Otro	BSX-Epis_RMS
TMM	Otro	BSX-Epis_PMT
RBS	Otro	Ninguno
TMM	Paciente activado	BSX-Epis_PTM
APM TR	EGM periódico	BSX-Epis_APMRT
Auto AD	Otro	Ninguno
Auto VD	Otro	Ninguno
VI Auto	Otro	Ninguno

Mapeo de configuración del cable

La siguiente tabla muestra cómo IDCO y BSC definen cables con múltiples electrodos. Esta tabla no pretende ser exhaustiva, sino que tan solo incluye enumeraciones que quizás no sean obvias.

Las definiciones que utiliza BSC están diseñadas para ser coherentes con el Programador/Registrador/Monitor (PRM) y el sitio web de LATITUDE.

NOMBRE DE ELECTRODO DE BSC	UBICACIÓN DEL ELECTRODO DE IDCO	NOMBRE DEL ELECTRODO DE IDCO
Can	Otra	Can
PuntVI1	VI	Punta
AnilVI2	VI	Anillo1
AnilVI3	VI	Anillo2
AnilVI4	VI	Anillo3

MDC_IDC_ENUM_ELECTRODE_LOCATION (ubicación de ánodo/cátodo de estimulación/detección) no incluye actualmente una enumeración para la bolsa (ej., can). La ubicación se enviará como "otra" y el electrodo como "can."

Un estado "compruebe el cable" indica un posible problema con el cable; sin embargo, la ausencia de un estado "compruebe el cable" no indica que el cable funcione correctamente. Se enviará un estado "compruebe el cable" si se presentan alguno de los siguientes indicadores:

- Cambio de polaridad electrodos
- Impedancia fuera de rango
- Amplitud fuera de rango
- Impedancia de descarga baja
- Impedancia de descarga alta
- Alto voltaje durante la carga

Para MSMT_LEADCHNL_[CHAMBER] (ej., mediciones de canales de cables como la amplitud intrínseca, la impedancia del cable o el umbral de estimulación), solo es posible un registro de fecha/hora para todas las mediciones (ej., no un rango por medición) en la nomenclatura IDCO actual. Si las horas de las mediciones son diferentes, se enviará un rango de registro de fecha/hora (ej., MIN o MAX) que incluye la hora de todas las mediciones. Además, los valores que se enviarán serán un valor de IDCO MEAN según la nomenclatura IDCO. No obstante, los valores son mediciones únicas y no son valores de media con respecto al rango de registro de fecha/hora.

Limitaciones del sistema

- Las salidas específicas de cámara y específicas de taquí son lo más precisas posible. Sin embargo, en algunos casos, la importancia del envío de datos y el hecho de que IDCO no puede representar determinados parámetros garantizan el envío de los datos de todos modos. Por ejemplo, la información de zona TV se envía como si los dispositivos bradi tuviesen una zona TV.
- En el caso de dispositivos sin umbral de estimulación automático (función autoumbral) se enviará la medición del último umbral en consulta.
- La elaboración adecuada de informes sobre datos de dispositivos implantados y notificaciones de alerta por el sistema LATITUDE NXT depende del reloj del dispositivo implantado que se programa con precisión con un Programador/Registrador/Monitor (PRM). La elaboración adecuada de informes puede seguir influida durante algún tiempo tras programar correctamente el reloj del dispositivo implantado en función de la cantidad de datos recibidos con información de tiempo no precisa y la diferencia temporal del error en el reloj del dispositivo implantado.
- Las cadenas se enviarán en el idioma configurado para la clínica en LATITUDE.

Definiciones de alertas y advertencias

Se incluyen mensajes de alertas y advertencias en el mensaje como notas que se pueden mostrar o no en un EMR. Se incluye una alerta o advertencia en el mensaje si los datos que se han cargado del GI provocan una advertencia o alerta.

Informes

Informe de EGM de presentación

Si está disponible en los datos recibidos del GI, el Informe de EGM de presentación se adjunta al mensaje como un PDF y se asocia con el episodio adecuado de APMRT usando el ID de grupo (OBX-4) para el episodio de APMRT.

Informe combinado de seguimiento

Un Informe combinado de seguimiento se adjunta al mensaje como un PDF.

Outdated version. Do not use.
Version überholt. Nicht verwenden.
Version obsolète. Ne pas utiliser.
Versión obsoleta. No utilizar.
Verouderde versie. Niet gebruiken.
Föråldrad version. Använd ej.
Παλιά έκδοση. Μην την χρησιμοποιείτε.
Versão obsoleta. Não utilize.
Forældet version. Må ikke anvendes.
Zastaralá verze. Nepoužívat.
Utdatert versjon. Skal ikke brukes.
Zastaraná verzia. Nepoužívať.
Elavult verzió. Ne használja!
Wersja nieaktualna. Nie używać.

Ejemplo de archivo IDCO

El siguiente ejemplo de archivo IDCO muestra el aspecto que podría tener un mensaje LATITUDE IDCO. Este es solamente un ejemplo de los numerosos resultados posibles. Los datos del mensaje de ejemplo son hipotéticos y no están representados todos los términos LATITUDE IDCO.

```
MSH|^~\&|LATITUDE|BOSTON SCIENTIFIC||TestClinic|201305092136+0000||ORU^R01^ORU_R01
|0|P|2.6|||UNICODE UTF-8|es^Spanish||IHE_PCD_009^IHE_PCD
^1.3.6.1.4.1.19376.1.6.1.9.1^ISO
PID|1||model:N119/serial:900141^^^BSX^U||testLastName^testName^^^^^^I
-testAuxLName^testAuxFName^^^^^^P||19680215|U
PV1|1|R
PV2|||||||TestDeviceGroup^^1
OBR|1||1000000916|754054^MDC_IDC_ENUM_SESS_TYPE_RemotePatientInitiated
^MDC||201001151330-0500|||||||F
NTE|1||02 feb 2012 00:00 - Alerta amarilla - Carga de arritmia auricular de al menos
3,0 horas en un período de 24 horas.
NTE|2||02 feb 2012 00:00 - Alerta amarilla - Carga de arritmia auricular de al menos
3,0 horas en un período de 24 horas entre 11 ene 2010 23:00 y 12 ene 2010 00:00.
NTE|3||02 feb 2012 00:00 - Alerta amarilla - Estimulación con terapia de resincronización
cardiaca < 1%. La estimulación era del 2% entre 11 ene 2010 23:00 y 12 ene 2010 00:00.
NTE|4||02 feb 2012 00:00 - Alerta amarilla - Estimulación ventricular derecha > 1%.
La estimulación fue del 2% entre 11 ene 2010 23:00 y 12 ene 2010 00:00.
NTE|5||02 feb 2012 00:00 - Alerta amarilla - Evento activado por el paciente almacenado.
Revisar el detalle del episodio en el Libro de arritmias dentro de la pestaña Eventos.
NTE|6||02 feb 2012 00:00 - Alerta amarilla - Aumento de peso de 2,27 kg como mínimo en
una semana o de 0,91 kg como mínimo de media durante un período de dos o más días.
NTE|7||02 feb 2012 00:00 - Alerta amarilla - Pérdida de peso de 2,27 kg como mínimo en
una semana o de 0,91 kg como mínimo de media durante un período de dos o más días.
NTE|8||02 feb 2012 00:00 - Alerta amarilla - Indicador de explante alcanzado
el 12 ene 2010 00:00. Programar recambio de este dispositivo.
NTE|9||02 feb 2012 00:00 - Alerta amarilla - El voltaje es demasiado bajo para la
reserva estimada.
NTE|10||02 feb 2012 00:00 - Alerta roja - Monitorización remota desactivada
el 12 ene 2010 00:00 debido a la reserva limitada de la batería (Indicador de explante
alcanzado el 12 feb 2010 00:00).
NTE|11||02 feb 2012 00:00 - Alerta amarilla - Daños detectados en la historia de la
terapia. Se han eliminado los datos de la historia de la terapia guardados previamente.
NTE|12||02 feb 2012 00:00 - Alerta roja - Posible malfuncionamiento del dispositivo
(Código de error 1011).
NTE|13||02 feb 2012 00:00 - Alerta roja - Posible funcionamiento incorrecto del
dispositivo (código de fallo 1007).
NTE|14||02 feb 2012 00:00 - Alerta roja - Posible funcionamiento incorrecto del
dispositivo (código de fallo 1009).
NTE|15||02 feb 2012 00:00 - Alerta roja - El dispositivo está en Modo de seguridad.
El dispositivo se ha cambiado a Modo de seguridad para proteger al paciente.
NTE|16||02 feb 2012 00:00 - Alerta amarilla - Umbral automático ventricular derecho
detectado como > de la amplitud programada o suspendido.
NTE|17||02 feb 2012 00:00 - Alerta amarilla - Umbral automático auricular detectado
como > de la amplitud programada o suspendido.
NTE|18||02 feb 2012 00:00 - Alerta roja - Impedancia del cable de descarga fuera de los
límites.
NTE|19||02 feb 2012 00:00 - Alerta roja - Impedancia del electrodo de descarga baja
detectada cuando se intenta administrar una descarga
NTE|20||02 feb 2012 00:00 - Alerta roja - Impedancia del electrodo de descarga elevada
detectada al intentar administrar una descarga
NTE|21||02 feb 2012 00:00 - Alerta roja - Voltaje elevado detectado en el electrodo
de descarga durante la carga
NTE|22||02 feb 2012 00:00 - Alerta roja - La protección contra electrocauterio
está activa.
NTE|23||02 feb 2012 00:00 - Alerta amarilla - Se ha producido un episodio de TV (V>A).
NTE|24||02 feb 2012 00:00 - Alerta amarilla - El Modo bradi del dispositivo está
desactivado. No se suministrará terapia.
```

NTE|25||02 feb 2012 00:00 - Alerta amarilla - Impedancia del cable de estimulación ventricular izquierda fuera de los límites.

NTE|26||02 feb 2012 00:00 - Alerta amarilla - Impedancia del cable de estimulación auricular fuera de los límites.

NTE|27||02 feb 2012 00:00 - Alerta amarilla - Amplitud intrínseca ventricular derecha fuera de los límites.

NTE|28||02 feb 2012 00:00 - Alerta amarilla - Amplitud intrínseca fuera de los límites.

NTE|29||02 feb 2012 00:00 - Alerta amarilla - Amplitud intrínseca ventricular izquierda fuera de los límites.

NTE|30||02 feb 2012 00:00 - Alerta amarilla - Amplitud auricular intrínseca fuera de los límites.

NTE|31||02 feb 2012 00:00 - Alerta roja - Impedancia del cable de estimulación ventricular derecho fuera de los límites.

NTE|32||02 feb 2012 00:00 - Alerta roja - Impedancia del cable de estimulación fuera de los límites.

NTE|33||02 feb 2012 00:00 - Alerta amarilla - Terapia de descarga ventricular administrada para convertir una arritmia.

NTE|34||02 feb 2012 00:00 - Alerta amarilla - Episodio de arritmia ventricular acelerada.

NTE|35||02 feb 2012 00:00 - Alerta roja - Modo taqui V establecido a un valor distinto a Monitor + Terapia

NTE|36||02 feb 2012 00:00 - Alerta roja - Notificación de la comprobación del cable como consecuencia de un cambio de impedancia brusco del cable de estimulación del ventrículo derecho en los últimos 7 días.

NTE|37||02 feb 2012 00:00 - Alerta roja - Notificación de la comprobación del cable como consecuencia de un episodio con posibles señales no fisiológicas del ventrículo derecho.

NTE|38||02 feb 2012 00:00 - Alerta amarilla - Se ha detectado que el umbral automático del ventrículo izquierdo es > que la amplitud programada o se ha suspendido.

OBX|1|ST|739536^MDC_IDC_EPISODE_ID^MDC|1|IRM-16|||F

OBX|2|DTM|739552^MDC_IDC_EPISODE_DTM^MDC|1|200101020304|||F

OBX|3|CWE|739568^MDC_IDC_EPISODE_TYPE^MDC|1|754888
^MDC_IDC_ENUM_EPISODE_TYPE_Epis_Other^MDC|||F

OBX|4|CWE|739600^MDC_IDC_EPISODE_VENDOR_TYPE^MDC|1|||F

OBX|5|NM|739712^MDC_IDC_EPISODE_DURATION^MDC|1|100|s|||F

OBX|6|ST|739680^MDC_IDC_EPISODE_DETECTION_THERAPY_DETAILS
^MDC|1|Modo de protección IRM|||F

OBX|7|ST|739536^MDC_IDC_EPISODE_ID^MDC|2|TAVI-15|||F

OBX|8|DTM|739552^MDC_IDC_EPISODE_DTM^MDC|2|200101020304|||F

OBX|9|CWE|739568^MDC_IDC_EPISODE_TYPE^MDC|2|754888
^MDC_IDC_ENUM_EPISODE_TYPE_Epis_Other^MDC|||F

OBX|10|CWE|739600^MDC_IDC_EPISODE_VENDOR_TYPE^MDC|2|||F

OBX|11|NM|739712^MDC_IDC_EPISODE_DURATION^MDC|2|100|s|||F

OBX|12|ST|739680^MDC_IDC_EPISODE_DETECTION_THERAPY_DETAILS^MDC|2|VI Auto|||F

OBX|13|ST|739536^MDC_IDC_EPISODE_ID^MDC|3|AUVD-14|||F

OBX|14|DTM|739552^MDC_IDC_EPISODE_DTM^MDC|3|200101020304|||F

OBX|15|CWE|739568^MDC_IDC_EPISODE_TYPE^MDC|3|754888
^MDC_IDC_ENUM_EPISODE_TYPE_Epis_PeriodicEGM^MDC|||F

OBX|16|CWE|739600^MDC_IDC_EPISODE_VENDOR_TYPE^MDC|3|||F

OBX|17|NM|739712^MDC_IDC_EPISODE_DURATION^MDC|3|100|s|||F

OBX|18|ST|739680^MDC_IDC_EPISODE_DETECTION_THERAPY_DETAILS^MDC|3|Auto VD|||F

OBX|19|ST|739536^MDC_IDC_EPISODE_ID^MDC|4|APM-13|||F

OBX|20|DTM|739552^MDC_IDC_EPISODE_DTM^MDC|4|200101020304|||F

OBX|21|CWE|739568^MDC_IDC_EPISODE_TYPE^MDC|4|754886
^MDC_IDC_ENUM_EPISODE_TYPE_Epis_PeriodicEGM^MDC|||F

OBX|22|CWE|739600^MDC_IDC_EPISODE_VENDOR_TYPE^MDC|4|771085
^MDC_IDC_ENUM_EPISODE_VENDOR_TYPE_BSX-Epis_APMRT^MDC|||F

OBX|23|ST|739680^MDC_IDC_EPISODE_DETECTION_THERAPY_DETAILS
^MDC|4|EGM de presentación|||F

OBX|24|ST|739536^MDC_IDC_EPISODE_ID^MDC|5|TMM-12|||F

OBX|25|DTM|739552^MDC_IDC_EPISODE_DTM^MDC|5|200101020304|||F

OBX|26|CWE|739568^MDC_IDC_EPISODE_TYPE^MDC|5|754887
^MDC_IDC_ENUM_EPISODE_TYPE_Epis_PatientActivated^MDC|||F

OBX|27|CWE|739600^MDC_IDC_EPISODE_VENDOR_TYPE^MDC|5|771080
^MDC_IDC_ENUM_EPISODE_VENDOR_TYPE_BSX-Epis_PTM^MDC|||F

OBX|28|NM|739648^MDC_IDC_EPISODE_VENTRICULAR_INTERVAL_AT_DETECTION
 ^MDC|5|30000|ms||||F
 OBX|29|NM|739712^MDC_IDC_EPISODE_DURATION^MDC|5|100|s||||F
 OBX|30|ST|739680^MDC_IDC_EPISODE_DETECTION_THERAPY_DETAILS^MDC|5|TMM|||||F
 OBX|31|ST|739536^MDC_IDC_EPISODE_ID^MDC|6|AUAD-11|||||F
 OBX|32|DTM|739552^MDC_IDC_EPISODE_DTM^MDC|6|200101020304|||||F
 OBX|33|CWE|739568^MDC_IDC_EPISODE_TYPE^MDC|6|754888
 ^MDC_IDC_ENUM_EPISODE_TYPE_Epis_Other^MDC|||||F
 OBX|34|CWE|739600^MDC_IDC_EPISODE_VENDOR_TYPE^MDC|6|||||F
 OBX|35|NM|739712^MDC_IDC_EPISODE_DURATION^MDC|6|100|s||||F
 OBX|36|ST|739680^MDC_IDC_EPISODE_DETECTION_THERAPY_DETAILS^MDC|6|Auto AD|||||F
 OBX|37|ST|739536^MDC_IDC_EPISODE_ID^MDC|7|RYTHMIQ-10|||||F
 OBX|38|DTM|739552^MDC_IDC_EPISODE_DTM^MDC|7|200101020304|||||F
 OBX|39|CWE|739568^MDC_IDC_EPISODE_TYPE^MDC|7|754888
 ^MDC_IDC_ENUM_EPISODE_TYPE_Epis_Other^MDC|||||F
 OBX|40|CWE|739600^MDC_IDC_EPISODE_VENDOR_TYPE^MDC|7|771084
 ^MDC_IDC_ENUM_EPISODE_VENDOR_TYPE_BSX-Epis_RMS^MDC|||||F
 OBX|41|NM|739648
 ^MDC_IDC_EPISODE_VENTRICULAR_INTERVAL_AT_DETECTION^MDC|7|30000|ms||||F
 OBX|42|NM|739712^MDC_IDC_EPISODE_DURATION^MDC|7|100|s||||F
 OBX|43|ST|739680^MDC_IDC_EPISODE_DETECTION_THERAPY_DETAILS^MDC|7|RYTHMIQ|||||F
 OBX|44|ST|739536^MDC_IDC_EPISODE_ID^MDC|8|RMS-9|||||F
 OBX|45|DTM|739552^MDC_IDC_EPISODE_DTM^MDC|8|200101020304|||||F
 OBX|46|CWE|739568^MDC_IDC_EPISODE_TYPE^MDC|8|754888
 ^MDC_IDC_ENUM_EPISODE_TYPE_Epis_Other^MDC|||||F
 OBX|47|CWE|739600^MDC_IDC_EPISODE_VENDOR_TYPE^MDC|8|771084
 ^MDC_IDC_ENUM_EPISODE_VENDOR_TYPE_BSX-Epis_RMS^MDC|||||F
 OBX|48|NM|739648
 ^MDC_IDC_EPISODE_VENTRICULAR_INTERVAL_AT_DETECTION^MDC|8|30000|ms||||F
 OBX|49|NM|739712^MDC_IDC_EPISODE_DURATION^MDC|8|100|s||||F
 OBX|50|ST|739680^MDC_IDC_EPISODE_DETECTION_THERAPY_DETAILS^MDC|8|RMS|||||F
 OBX|51|ST|739536^MDC_IDC_EPISODE_ID^MDC|9|V-8|||||F
 OBX|52|DTM|739552^MDC_IDC_EPISODE_DTM^MDC|9|200101020304|||||F
 OBX|53|CWE|739568^MDC_IDC_EPISODE_TYPE^MDC|9|754881
 ^MDC_IDC_ENUM_EPISODE_TYPE_Epis_VF^MDC|||||F
 OBX|54|CWE|739600^MDC_IDC_EPISODE_VENDOR_TYPE^MDC|9|771073
 ^MDC_IDC_ENUM_EPISODE_VENDOR_TYPE_BSX-Epis_VF^MDC|||||F
 OBX|55|CWE|739584^MDC_IDC_EPISODE_TYPE_INDUCED^MDC|9|755329
 ^MDC_IDC_ENUM_EPISODE_TYPE_INDUCED_YES^MDC|||||F
 OBX|56|NM|739648
 ^MDC_IDC_EPISODE_VENTRICULAR_INTERVAL_AT_DETECTION^MDC|9|30000|ms||||F
 OBX|57|NM|739712^MDC_IDC_EPISODE_DURATION^MDC|9|100|s||||F
 OBX|58|ST|739680
 ^MDC_IDC_EPISODE_DETECTION_THERAPY_DETAILS^MDC|9|FV ATPx1, 0,1J, 0,2J, 31Jx2|||||F
 OBX|59|ST|739536^MDC_IDC_EPISODE_ID^MDC|10|TMM-7|||||F
 OBX|60|DTM|739552^MDC_IDC_EPISODE_DTM^MDC|10|200101020304|||||F
 OBX|61|CWE|739568^MDC_IDC_EPISODE_TYPE^MDC|10|754888
 ^MDC_IDC_ENUM_EPISODE_TYPE_Epis_Other^MDC|||||F
 OBX|62|CWE|739600^MDC_IDC_EPISODE_VENDOR_TYPE^MDC|10|771079
 ^MDC_IDC_ENUM_EPISODE_VENDOR_TYPE_BSX-Epis_PMT^MDC|||||F
 OBX|63|NM|739648^MDC_IDC_EPISODE_VENTRICULAR_INTERVAL_AT_DETECTION
 ^MDC|10|30000|ms||||F
 OBX|64|NM|739712^MDC_IDC_EPISODE_DURATION^MDC|10|100|s||||F
 OBX|65|ST|739680^MDC_IDC_EPISODE_DETECTION_THERAPY_DETAILS^MDC|10|TMM|||||F
 OBX|66|ST|739536^MDC_IDC_EPISODE_ID^MDC|11|V-6|||||F
 OBX|67|DTM|739552^MDC_IDC_EPISODE_DTM^MDC|11|200101020304|||||F
 OBX|68|CWE|739568^MDC_IDC_EPISODE_TYPE^MDC|11|754882
 ^MDC_IDC_ENUM_EPISODE_TYPE_Epis_VT^MDC|||||F
 OBX|69|CWE|739600^MDC_IDC_EPISODE_VENDOR_TYPE^MDC|11|771075
 ^MDC_IDC_ENUM_EPISODE_VENDOR_TYPE_BSX-Epis_VT-1^MDC|||||F
 OBX|70|CWE|739584^MDC_IDC_EPISODE_TYPE_INDUCED^MDC|11|755329
 ^MDC_IDC_ENUM_EPISODE_TYPE_INDUCED_YES^MDC|||||F
 OBX|71|NM|739648^MDC_IDC_EPISODE_VENTRICULAR_INTERVAL_AT_DETECTION
 ^MDC|11|30000|ms||||F
 OBX|72|NM|739712^MDC_IDC_EPISODE_DURATION^MDC|11|100|s||||F

OBX|73|ST|739680^MDC_IDC_EPISODE_DETECTION_THERAPY_DETAILS
 ^MDC|11|TV-1 ATPx1, 0,1J, 0,2J, 31Jx2|||||F
 OBX|74|ST|739536^MDC_IDC_EPISODE_ID^MDC|12|RTA-5|||||F
 OBX|75|DTM|739552^MDC_IDC_EPISODE_DTM^MDC|12|200101020304|||||F
 OBX|76|CWE|739568^MDC_IDC_EPISODE_TYPE^MDC|12|754883
 ^MDC_IDC_ENUM_EPISODE_TYPE_Epis_ATAF^MDC|||||F
 OBX|77|CWE|739600^MDC_IDC_EPISODE_VENDOR_TYPE^MDC|12|771078
 ^MDC_IDC_ENUM_EPISODE_VENDOR_TYPE_BSX-Epis_ATR^MDC|||||F
 OBX|78|NM|739616^MDC_IDC_EPISODE_ATRIAL_INTERVAL_AT_DETECTION^MDC|12|2000|ms|||||F
 OBX|79|NM|739712^MDC_IDC_EPISODE_DURATION^MDC|12|100|s|||||F
 OBX|80|ST|739680^MDC_IDC_EPISODE_DETECTION_THERAPY_DETAILS^MDC|12|RTA|||||F
 OBX|81|ST|739536^MDC_IDC_EPISODE_ID^MDC|13|V-4|||||F
 OBX|82|DTM|739552^MDC_IDC_EPISODE_DTM^MDC|13|200101020304|||||F
 OBX|83|CWE|739568^MDC_IDC_EPISODE_TYPE^MDC|13|754882
 ^MDC_IDC_ENUM_EPISODE_TYPE_Epis_VT^MDC|||||F
 OBX|84|CWE|739600^MDC_IDC_EPISODE_VENDOR_TYPE^MDC|13|771077
 ^MDC_IDC_ENUM_EPISODE_VENDOR_TYPE_BSX-Epis_NSVT^MDC|||||F
 OBX|85|CWE|739584^MDC_IDC_EPISODE_TYPE_INDUCED^MDC|13|755329
 ^MDC_IDC_ENUM_EPISODE_TYPE_INDUCED_YES^MDC|||||F
 OBX|86|NM|739648^MDC_IDC_EPISODE_VENTRICULAR_INTERVAL_AT_DETECTION
 ^MDC|13|30000|ms|||||F
 OBX|87|NM|739712^MDC_IDC_EPISODE_DURATION^MDC|13|100|s|||||F
 OBX|88|ST|739680^MDC_IDC_EPISODE_DETECTION_THERAPY_DETAILS^MDC|13|TVNS|||||F
 OBX|89|ST|739536^MDC_IDC_EPISODE_ID^MDC|14|V-3|||||F
 OBX|90|DTM|739552^MDC_IDC_EPISODE_DTM^MDC|14|200101020304|||||F
 OBX|91|CWE|739568^MDC_IDC_EPISODE_TYPE^MDC|14|754882
 ^MDC_IDC_ENUM_EPISODE_TYPE_Epis_VT^MDC|||||F
 OBX|92|CWE|739600^MDC_IDC_EPISODE_VENDOR_TYPE^MDC|14|771074
 ^MDC_IDC_ENUM_EPISODE_VENDOR_TYPE_BSX-Epis_VT^MDC|||||F
 OBX|93|CWE|739584^MDC_IDC_EPISODE_TYPE_INDUCED^MDC|14|755329
 ^MDC_IDC_ENUM_EPISODE_TYPE_INDUCED_YES^MDC|||||F
 OBX|94|NM|739648^MDC_IDC_EPISODE_VENTRICULAR_INTERVAL_AT_DETECTION
 ^MDC|14|30000|ms|||||F
 OBX|95|NM|739712^MDC_IDC_EPISODE_DURATION^MDC|14|100|s|||||F
 OBX|96|ST|739680^MDC_IDC_EPISODE_DETECTION_THERAPY_DETAILS
 ^MDC|14|TV ATPx1, 0,1J, 0,2J, 31Jx2|||||F
 OBX|97|ST|739536^MDC_IDC_EPISODE_ID^MDC|15|RBS-2|||||F
 OBX|98|DTM|739552^MDC_IDC_EPISODE_DTM^MDC|15|200101020304|||||F
 OBX|99|CWE|739568^MDC_IDC_EPISODE_TYPE^MDC|15|754888
 ^MDC_IDC_ENUM_EPISODE_TYPE_Epis_Other^MDC|||||F
 OBX|100|CWE|739600^MDC_IDC_EPISODE_VENDOR_TYPE^MDC|15|||||F
 OBX|101|NM|739616^MDC_IDC_EPISODE_ATRIAL_INTERVAL_AT_DETECTION^MDC|15|2000|ms|||||F
 OBX|102|NM|739712^MDC_IDC_EPISODE_DURATION^MDC|15|100|s|||||F
 OBX|103|ST|739680^MDC_IDC_EPISODE_DETECTION_THERAPY_DETAILS^MDC|15|RBS|||||F
 OBX|104|ST|739536^MDC_IDC_EPISODE_ID^MDC|16|V-1|||||F
 OBX|105|DTM|739552^MDC_IDC_EPISODE_DTM^MDC|16|200101020304|||||F
 OBX|106|CWE|739568^MDC_IDC_EPISODE_TYPE^MDC|16|754888
 ^MDC_IDC_ENUM_EPISODE_TYPE_Epis_Other^MDC|||||F
 OBX|107|CWE|739600^MDC_IDC_EPISODE_VENDOR_TYPE^MDC|16|||||F
 OBX|108|CWE|739584^MDC_IDC_EPISODE_TYPE_INDUCED^MDC|16|755329
 ^MDC_IDC_ENUM_EPISODE_TYPE_INDUCED_YES^MDC|||||F
 OBX|109|NM|739648^MDC_IDC_EPISODE_VENTRICULAR_INTERVAL_AT_DETECTION
 ^MDC|16|30000|ms|||||F
 OBX|110|NM|739712^MDC_IDC_EPISODE_DURATION^MDC|16|100|s|||||F
 OBX|111|ST|739680^MDC_IDC_EPISODE_DETECTION_THERAPY_DETAILS
 ^MDC|16|V obl Terapia suminstrada|||||F
 OBX|112|ED|18750-0^Cardiac Electrophysiology Report^LN||Application^PDF^
 ^Base64^{encoded PDF included here}|||||F|||201001151330-0500
 OBX|113|ED|18750-0^Cardiac Electrophysiology Report^LN|4|Application^PDF^
 ^Base64^{encoded PDF included here}|||||F|||201001151330-0500
 OBX|114|CWE|720897^MDC_IDC_DEV_TYPE^MDC||753665^MDC_IDC_ENUM_DEV_TYPE_IPG^MDC|||||F
 OBX|115|ST|720898^MDC_IDC_DEV_MODEL^MDC||N119|||||F
 OBX|116|ST|720899^MDC_IDC_DEV_SERIAL^MDC||900141|||||F
 OBX|117|CWE|720900^MDC_IDC_DEV_MFG^MDC||753732^MDC_IDC_ENUM_MFG_BSX^MDC|||||F
 OBX|118|DTM|720901^MDC_IDC_DEV_IMPLANT_DT^MDC||20120513|||||F

OBX|119|ST|720961^MDC_IDC_LEAD_MODEL^MDC|1|12345|||||F
 OBX|120|ST|720962^MDC_IDC_LEAD_SERIAL^MDC|1|6789|||||F
 OBX|121|CWE|720963^MDC_IDC_LEAD_MFG^MDC|1|753731^MDC_IDC_ENUM_MFG_BIO^MDC|||||F
 OBX|122|CWE|720965^MDC_IDC_LEAD_POLARITY_TYPE^MDC|1|753793
 ^MDC_IDC_ENUM_LEAD_POLARITY_TYPE_UNI^MDC|||||F
 OBX|123|DTM|720964^MDC_IDC_LEAD_IMPLANT_DT^MDC|1|201205|||||F
 OBX|124|CWE|720966^MDC_IDC_LEAD_LOCATION^MDC|1|753858
 ^MDC_IDC_ENUM_LEAD_LOCATION_CHAMBER_LV^MDC|||||F
 OBX|125|CWE|720967^MDC_IDC_LEAD_LOCATION_DETAIL_1^MDC|1|753922
 ^MDC_IDC_ENUM_LEAD_LOCATION_DETAIL_Apex^MDC|||||F
 OBX|126|CWE|720968^MDC_IDC_LEAD_LOCATION_DETAIL_2^MDC|1|753925
 ^MDC_IDC_ENUM_LEAD_LOCATION_DETAIL_VenaCava^MDC|||||F
 OBX|127|ST|720961^MDC_IDC_LEAD_MODEL^MDC|2|12345|||||F
 OBX|128|ST|720962^MDC_IDC_LEAD_SERIAL^MDC|2|6789|||||F
 OBX|129|CWE|720963^MDC_IDC_LEAD_MFG^MDC|2|753731^MDC_IDC_ENUM_MFG_BIO^MDC|||||F
 OBX|130|CWE|720965^MDC_IDC_LEAD_POLARITY_TYPE^MDC|2|753793
 ^MDC_IDC_ENUM_LEAD_POLARITY_TYPE_UNI^MDC|||||F
 OBX|131|DTM|720964^MDC_IDC_LEAD_IMPLANT_DT^MDC|2|201205|||||F
 OBX|132|CWE|720966^MDC_IDC_LEAD_LOCATION^MDC|2|753858
 ^MDC_IDC_ENUM_LEAD_LOCATION_CHAMBER_LV^MDC|||||F
 OBX|133|CWE|720967^MDC_IDC_LEAD_LOCATION_DETAIL_1^MDC|2|753922
 ^MDC_IDC_ENUM_LEAD_LOCATION_DETAIL_Apex^MDC|||||F
 OBX|134|CWE|720968^MDC_IDC_LEAD_LOCATION_DETAIL_2^MDC|2|753925
 ^MDC_IDC_ENUM_LEAD_LOCATION_DETAIL_VenaCava^MDC|||||F
 OBX|135|ST|720961^MDC_IDC_LEAD_MODEL^MDC|3|12345|||||F
 OBX|136|ST|720962^MDC_IDC_LEAD_SERIAL^MDC|3|6789|||||F
 OBX|137|CWE|720963^MDC_IDC_LEAD_MFG^MDC|3|753731^MDC_IDC_ENUM_MFG_BIO^MDC|||||F
 OBX|138|CWE|720965^MDC_IDC_LEAD_POLARITY_TYPE^MDC|3|753793
 ^MDC_IDC_ENUM_LEAD_POLARITY_TYPE_UNI^MDC|||||F
 OBX|139|DTM|720964^MDC_IDC_LEAD_IMPLANT_DT^MDC|3|201205|||||F
 OBX|140|CWE|720966^MDC_IDC_LEAD_LOCATION^MDC|3|753858
 ^MDC_IDC_ENUM_LEAD_LOCATION_CHAMBER_LV^MDC|||||F
 OBX|141|CWE|720967^MDC_IDC_LEAD_LOCATION_DETAIL_1^MDC|3|753922
 ^MDC_IDC_ENUM_LEAD_LOCATION_DETAIL_Apex^MDC|||||F
 OBX|142|CWE|720968^MDC_IDC_LEAD_LOCATION_DETAIL_2^MDC|3|753925
 ^MDC_IDC_ENUM_LEAD_LOCATION_DETAIL_VenaCava^MDC|||||F
 OBX|143|ST|720961^MDC_IDC_LEAD_MODEL^MDC|4|12345|||||F
 OBX|144|ST|720962^MDC_IDC_LEAD_SERIAL^MDC|4|6789|||||F
 OBX|145|CWE|720963^MDC_IDC_LEAD_MFG^MDC|4|753731^MDC_IDC_ENUM_MFG_BIO^MDC|||||F
 OBX|146|CWE|720965^MDC_IDC_LEAD_POLARITY_TYPE^MDC|4|753793
 ^MDC_IDC_ENUM_LEAD_POLARITY_TYPE_UNI^MDC|||||F
 OBX|147|DTM|720964^MDC_IDC_LEAD_IMPLANT_DT^MDC|4|201205|||||F
 OBX|148|CWE|720966^MDC_IDC_LEAD_LOCATION^MDC|4|753858
 ^MDC_IDC_ENUM_LEAD_LOCATION_CHAMBER_LV^MDC|||||F
 OBX|149|CWE|720967^MDC_IDC_LEAD_LOCATION_DETAIL_1^MDC|4|753922
 ^MDC_IDC_ENUM_LEAD_LOCATION_DETAIL_Apex^MDC|||||F
 OBX|150|CWE|720968^MDC_IDC_LEAD_LOCATION_DETAIL_2^MDC|4|753925
 ^MDC_IDC_ENUM_LEAD_LOCATION_DETAIL_VenaCava^MDC|||||F
 OBX|151|ST|720961^MDC_IDC_LEAD_MODEL^MDC|5|12345|||||F
 OBX|152|ST|720962^MDC_IDC_LEAD_SERIAL^MDC|5|6789|||||F
 OBX|153|CWE|720963^MDC_IDC_LEAD_MFG^MDC|5|753731^MDC_IDC_ENUM_MFG_BIO^MDC|||||F
 OBX|154|CWE|720965^MDC_IDC_LEAD_POLARITY_TYPE^MDC|5|753793
 ^MDC_IDC_ENUM_LEAD_POLARITY_TYPE_UNI^MDC|||||F
 OBX|155|DTM|720964^MDC_IDC_LEAD_IMPLANT_DT^MDC|5|201205|||||F
 OBX|156|CWE|720966^MDC_IDC_LEAD_LOCATION^MDC|5|753858
 ^MDC_IDC_ENUM_LEAD_LOCATION_CHAMBER_LV^MDC|||||F
 OBX|157|CWE|720967^MDC_IDC_LEAD_LOCATION_DETAIL_1^MDC|5|753922
 ^MDC_IDC_ENUM_LEAD_LOCATION_DETAIL_Apex^MDC|||||F
 OBX|158|CWE|720968^MDC_IDC_LEAD_LOCATION_DETAIL_2^MDC|5|753925
 ^MDC_IDC_ENUM_LEAD_LOCATION_DETAIL_VenaCava^MDC|||||F
 OBX|159|ST|720961^MDC_IDC_LEAD_MODEL^MDC|6|12345|||||F
 OBX|160|ST|720962^MDC_IDC_LEAD_SERIAL^MDC|6|6789|||||F
 OBX|161|CWE|720963^MDC_IDC_LEAD_MFG^MDC|6|753731^MDC_IDC_ENUM_MFG_BIO^MDC|||||F
 OBX|162|CWE|720965^MDC_IDC_LEAD_POLARITY_TYPE^MDC|6|753793
 ^MDC_IDC_ENUM_LEAD_POLARITY_TYPE_UNI^MDC|||||F

OBX|163|DTM|720964^MDC_IDC_LEAD_IMPLANT_DT^MDC|6|201205|||||F
 OBX|164|CWE|720966^MDC_IDC_LEAD_LOCATION^MDC|6|753858
 ^MDC_IDC_ENUM_LEAD_LOCATION_CHAMBER_LV^MDC|||||F
 OBX|165|CWE|720967^MDC_IDC_LEAD_LOCATION_DETAIL_1^MDC|6|753922
 ^MDC_IDC_ENUM_LEAD_LOCATION_DETAIL_Apex^MDC|||||F
 OBX|166|CWE|720968^MDC_IDC_LEAD_LOCATION_DETAIL_2^MDC|6|753925
 ^MDC_IDC_ENUM_LEAD_LOCATION_DETAIL_VenaCava^MDC|||||F
 OBX|167|DTM|721025^MDC_IDC_SESS_DTM^MDC||201001021310-0600|||||F
 OBX|168|CWE|721026^MDC_IDC_SESS_TYPE^MDC||754052
 ^MDC_IDC_ENUM_SESS_TYPE_RemoteDeviceInitiated^MDC|||||F
 OBX|169|ST|721033^MDC_IDC_SESS_CLINIC_NAME
 ^MDC| |abcdefghijklmnopqrstuvwxyzabcdefghijklmnopqrstuvw|||F
 OBX|170|DTM|721216^MDC_IDC_MSMT_BATTERY_DTM^MDC||201205221755+0000|||||F
 OBX|171|CWE|721280^MDC_IDC_MSMT_BATTERY_STATUS^MDC||754113
 ^MDC_IDC_ENUM_BATTERY_STATUS_BOS^MDC|||||F
 OBX|172|NM|721472^MDC_IDC_MSMT_BATTERY_REMAINING_LONGEVITY^MDC||132|mo||>|||F
 OBX|173|NM|721536^MDC_IDC_MSMT_BATTERY_REMAINING_PERCENTAGE^MDC||100|%|||F
 OBX|174|DTM|721664^MDC_IDC_MSMT_CAP_CHARGE_DTM^MDC||201205221755|||||F
 OBX|175|NM|721728^MDC_IDC_MSMT_CAP_CHARGE_TIME^MDC||3.0|s|||||F
 OBX|176|CWE|721856^MDC_IDC_MSMT_CAP_CHARGE_TYPE^MDC||754178
 ^MDC_IDC_ENUM_CHARGE_TYPE_Reformation^MDC|||||F
 OBX|177|DTM|721921^MDC_IDC_MSMT_LEADCHNL_RA_DTM_START^MDC||20121211|||||F
 OBX|178|DTM|721922^MDC_IDC_MSMT_LEADCHNL_RA_DTM_END^MDC||20121211|||||F
 OBX|179|CWE|721984^MDC_IDC_MSMT_LEADCHNL_RA_LEAD_CHANNEL_STATUS^MDC||754241
 ^MDC_IDC_ENUM_CHANNEL_STATUS_CheckLead^MDC|||||F
 OBX|180|NM|722051
 ^MDC_IDC_MSMT_LEADCHNL_RA_SENSING_INTR_AMPL_MEAN^MDC||mV||NAV|||F||20121211
 OBX|181|DTM|721925^MDC_IDC_MSMT_LEADCHNL_RV_DTM_START^MDC||19990102|||||F
 OBX|182|DTM|721926^MDC_IDC_MSMT_LEADCHNL_RV_DTM_END^MDC||20121211|||||F
 OBX|183|CWE|721985^MDC_IDC_MSMT_LEADCHNL_RV_LEAD_CHANNEL_STATUS^MDC||754241
 ^MDC_IDC_ENUM_CHANNEL_STATUS_CheckLead^MDC|||||F
 OBX|184|NM|722055
 ^MDC_IDC_MSMT_LEADCHNL_RV_SENSING_INTR_AMPL_MEAN^MDC||0.1|mV||<|||F||20121211
 OBX|185|DTM|721933^MDC_IDC_MSMT_LEADCHNL_LV_DTM_START^MDC||19990102|||||F
 OBX|186|DTM|721934^MDC_IDC_MSMT_LEADCHNL_LV_DTM_END^MDC||20121211|||||F
 OBX|187|CWE|721987^MDC_IDC_MSMT_LEADCHNL_LV_LEAD_CHANNEL_STATUS^MDC||754241
 ^MDC_IDC_ENUM_CHANNEL_STATUS_CheckLead^MDC|||||F
 OBX|188|NM|722063^MDC_IDC_MSMT_LEADCHNL_LV_SENSING_INTR_AMPL_MEAN
 ^MDC||25.0|mV||>|||F||20121211
 OBX|189|CWE|722112^MDC_IDC_MSMT_LEADCHNL_RA_SENSING_POLARITY^MDC||754305
 ^MDC_IDC_ENUM_POLARITY_UNI^MDC|||||F
 OBX|190|CWE|722113^MDC_IDC_MSMT_LEADCHNL_RV_SENSING_POLARITY^MDC||754306
 ^MDC_IDC_ENUM_POLARITY_BI^MDC|||||F
 OBX|191|CWE|722115^MDC_IDC_MSMT_LEADCHNL_LV_SENSING_POLARITY^MDC|||OFF|||F
 OBX|192|NM|722176^MDC_IDC_MSMT_LEADCHNL_RA_PACING_THRESHOLD_AMPLITUDE
 ^MDC||V||NAV|||F||20121211
 OBX|193|NM|722177^MDC_IDC_MSMT_LEADCHNL_RV_PACING_THRESHOLD_AMPLITUDE
 ^MDC||3.0|V||>|||F||20121211
 OBX|194|NM|722179^MDC_IDC_MSMT_LEADCHNL_LV_PACING_THRESHOLD_AMPLITUDE
 ^MDC||0.0|V|||F||20121210
 OBX|195|NM|722240^MDC_IDC_MSMT_LEADCHNL_RA_PACING_THRESHOLD_PULSEWIDTH
 ^MDC||ms||NAV|||F||19990102
 OBX|196|NM|722241^MDC_IDC_MSMT_LEADCHNL_RV_PACING_THRESHOLD_PULSEWIDTH
 ^MDC||0.4|ms|||F||19990102
 OBX|197|NM|722243^MDC_IDC_MSMT_LEADCHNL_LV_PACING_THRESHOLD_PULSEWIDTH
 ^MDC||0.4|ms|||F||19990102
 OBX|198|CWE|722304^MDC_IDC_MSMT_LEADCHNL_RA_PACING_THRESHOLD_MEASUREMENT_METHOD
 ^MDC||754369^MDC_IDC_ENUM_MEASUREMENT_METHOD_ProgrammerManual^MDC|||||F
 OBX|199|CWE|722305^MDC_IDC_MSMT_LEADCHNL_RV_PACING_THRESHOLD_MEASUREMENT_METHOD
 ^MDC||754369^MDC_IDC_ENUM_MEASUREMENT_METHOD_ProgrammerManual^MDC|||||F
 OBX|200|CWE|722307^MDC_IDC_MSMT_LEADCHNL_LV_PACING_THRESHOLD_MEASUREMENT_METHOD
 ^MDC||754369^MDC_IDC_ENUM_MEASUREMENT_METHOD_ProgrammerManual^MDC|||||F
 OBX|201|CWE|722368^MDC_IDC_MSMT_LEADCHNL_RA_PACING_THRESHOLD_POLARITY^MDC||754305
 ^MDC_IDC_ENUM_POLARITY_UNI^MDC|||||F

OBX|202|CWE|722369^MDC_IDC_MSMT_LEADCHNL_RV_PACING_THRESHOLD_POLARITY^MDC||754306
^MDC_IDC_ENUM_POLARITY_BI^MDC|||||F
OBX|203|CWE|722371^MDC_IDC_MSMT_LEADCHNL_LV_PACING_THRESHOLD_POLARITY^MDC||754306
^MDC_IDC_ENUM_POLARITY_BI^MDC|||||F
OBX|204|NM|722432^MDC_IDC_MSMT_LEADCHNL_RA_IMPEDANCE_VALUE
^MDC||200|ohms||<|||F|||20121211
OBX|205|NM|722433^MDC_IDC_MSMT_LEADCHNL_RV_IMPEDANCE_VALUE
^MDC||2000|ohms||>|||F|||20121211
OBX|206|NM|722435^MDC_IDC_MSMT_LEADCHNL_LV_IMPEDANCE_VALUE
^MDC||201|ohms|||||F|||20121209
OBX|207|CWE|722496^MDC_IDC_MSMT_LEADCHNL_RA_IMPEDANCE_POLARITY^MDC||754305
^MDC_IDC_ENUM_POLARITY_UNI^MDC|||||F
OBX|208|CWE|722497^MDC_IDC_MSMT_LEADCHNL_RV_IMPEDANCE_POLARITY^MDC||754305
^MDC_IDC_ENUM_POLARITY_UNI^MDC|||||F
OBX|209|CWE|722499^MDC_IDC_MSMT_LEADCHNL_LV_IMPEDANCE_POLARITY^MDC||754306
^MDC_IDC_ENUM_POLARITY_BI^MDC|||||F
OBX|210|DTM|722560^MDC_IDC_MSMT_LEADHVCHNL_DTM_START^MDC|1|20121109|||||F
OBX|211|NM|722624^MDC_IDC_MSMT_LEADHVCHNL_IMPEDANCE^MDC|1|ohms|NAV|||F
OBX|212|CWE|722688^MDC_IDC_MSMT_LEADHVCHNL_MEASUREMENT_TYPE^MDC|1|754433
^MDC_IDC_ENUM_HVCHNL_MEASUREMENT_TYPE_LowVoltage^MDC|||||F
OBX|213|CWE|722752^MDC_IDC_MSMT_LEADHVCHNL_STATUS^MDC|1|754241
^MDC_IDC_ENUM_CHANNEL_STATUS_CheckLead^MDC|||||F
OBX|214|NM|729344^MDC_IDC_SET_CRT_LVRV_DELAY^MDC||-100|ms|||||F
OBX|215|CWE|729408^MDC_IDC_SET_CRT_PACED_CHAMBERS^MDC||755265
^MDC_IDC_ENUM_CRT_PACED_CHAMBERS_RV_Only^MDC|||||F
OBX|216|NM|729536^MDC_IDC_SET_LEADCHNL_RA_SENSING_SENSITIVITY^MDC||0.5|mV|||||F
OBX|217|NM|729537^MDC_IDC_SET_LEADCHNL_RV_SENSING_SENSITIVITY^MDC||0.9|mV|||||F
OBX|218|NM|729539^MDC_IDC_SET_LEADCHNL_LV_SENSING_SENSITIVITY^MDC||1.0|mV|||||F
OBX|219|CWE|729600^MDC_IDC_SET_LEADCHNL_RA_SENSING_POLARITY^MDC|||||OFF|||F
OBX|220|CWE|729601^MDC_IDC_SET_LEADCHNL_RV_SENSING_POLARITY^MDC||754305
^MDC_IDC_ENUM_POLARITY_UNI^MDC|||||F
OBX|221|CWE|729676^MDC_IDC_SET_LEADCHNL_LV_SENSING_ANODE_LOCATION^MDC||754498
^MDC_IDC_ENUM_ELECTRODE_LOCATION_RV^MDC|||||F
OBX|222|CWE|729740^MDC_IDC_SET_LEADCHNL_LV_SENSING_ANODE_ELECTRODE^MDC|||||OFF|||F
OBX|223|CWE|729804^MDC_IDC_SET_LEADCHNL_LV_SENSING_CATHODE_LOCATION^MDC|||||OFF|||F
OBX|224|CWE|729868^MDC_IDC_SET_LEADCHNL_LV_SENSING_CATHODE_ELECTRODE^MDC||754561
^MDC_IDC_ENUM_ELECTRODE_NAME_Tip^MDC|||||F
OBX|225|CWE|729920^MDC_IDC_SET_LEADCHNL_RA_SENSING_ADAPTATION_MODE^MDC||754625
^MDC_IDC_ENUM_SENSING_ADAPTATION_MODE_AdaptiveSensing^MDC|||||F
OBX|226|CWE|729921^MDC_IDC_SET_LEADCHNL_RV_SENSING_ADAPTATION_MODE^MDC||754625
^MDC_IDC_ENUM_SENSING_ADAPTATION_MODE_AdaptiveSensing^MDC|||||F
OBX|227|CWE|729923^MDC_IDC_SET_LEADCHNL_LV_SENSING_ADAPTATION_MODE^MDC||754626
^MDC_IDC_ENUM_SENSING_ADAPTATION_MODE_FixedSensing^MDC|||||F
OBX|228|NM|729984^MDC_IDC_SET_LEADCHNL_RA_PACING_AMPLITUDE^MDC||5.1|V|||||F
OBX|229|NM|729985^MDC_IDC_SET_LEADCHNL_RV_PACING_AMPLITUDE^MDC||5.0|V|||||F
OBX|230|NM|729987^MDC_IDC_SET_LEADCHNL_LV_PACING_AMPLITUDE^MDC||2.8|V|||||F
OBX|231|NM|730048^MDC_IDC_SET_LEADCHNL_RA_PACING_PULSEWIDTH^MDC||100.0|ms|||||F
OBX|232|NM|730049^MDC_IDC_SET_LEADCHNL_RV_PACING_PULSEWIDTH^MDC||200.0|ms|||||F
OBX|233|NM|730051^MDC_IDC_SET_LEADCHNL_LV_PACING_PULSEWIDTH^MDC||300.0|ms|||||F
OBX|234|CWE|730112^MDC_IDC_SET_LEADCHNL_RA_PACING_POLARITY^MDC||754305
^MDC_IDC_ENUM_POLARITY_UNI^MDC|||||F
OBX|235|CWE|730113^MDC_IDC_SET_LEADCHNL_RV_PACING_POLARITY^MDC||754305
^MDC_IDC_ENUM_POLARITY_UNI^MDC|||||F
OBX|236|CWE|730188^MDC_IDC_SET_LEADCHNL_LV_PACING_ANODE_LOCATION^MDC||754498
^MDC_IDC_ENUM_ELECTRODE_LOCATION_RV^MDC|||||F
OBX|237|CWE|730252^MDC_IDC_SET_LEADCHNL_LV_PACING_ANODE_ELECTRODE^MDC||754564
^MDC_IDC_ENUM_ELECTRODE_NAME_Ring2^MDC|||||F
OBX|238|CWE|730316^MDC_IDC_SET_LEADCHNL_LV_PACING_CATHODE_LOCATION^MDC||754500
^MDC_IDC_ENUM_ELECTRODE_LOCATION_LV^MDC|||||F
OBX|239|CWE|730380^MDC_IDC_SET_LEADCHNL_LV_PACING_CATHODE_ELECTRODE^MDC||754566
^MDC_IDC_ENUM_ELECTRODE_NAME_Ring4^MDC|||||F
OBX|240|CWE|730432^MDC_IDC_SET_LEADCHNL_RA_PACING_CAPTURE_MODE^MDC||754690
^MDC_IDC_ENUM_PACING_CAPTURE_MODE_FixedPacing^MDC|||||F
OBX|241|CWE|730433^MDC_IDC_SET_LEADCHNL_RV_PACING_CAPTURE_MODE^MDC||754691
^MDC_IDC_ENUM_PACING_CAPTURE_MODE_MonitorCapture^MDC|||||F

OBX|242|CWE|730435^MDC_IDC_SET_LEADCHNL_LV_PACING_CAPTURE_MODE^MDC||754690
 ^MDC_IDC_ENUM_PACING_CAPTURE_MODE_FixedPacing^MDC|||||F
 OBX|243|CWE|730752^MDC_IDC_SET_BRADY_MODE^MDC||754760^MDC_IDC_ENUM_BRADY_MODE_DDD
 ^MDC|||||F
 OBX|244|NM|730880^MDC_IDC_SET_BRADY_LOWRATE^MDC||100|{beats}/min|||||F
 OBX|245|ST|731072^MDC_IDC_SET_BRADY_SENSOR_TYPE^MDC|Acelerómetro + VM|||||F
 OBX|246|NM|731136^MDC_IDC_SET_BRADY_MAX_TRACKING_RATE^MDC||130|{beats}/min|||||F
 OBX|247|NM|731200^MDC_IDC_SET_BRADY_MAX_SENSOR_RATE^MDC||180|{beats}/min|||||F
 OBX|248|NM|731265^MDC_IDC_SET_BRADY_SAV_DELAY_HIGH^MDC||102|ms|||||F
 OBX|249|NM|731266^MDC_IDC_SET_BRADY_SAV_DELAY_LOW^MDC||101|ms|||||F
 OBX|250|NM|731329^MDC_IDC_SET_BRADY_PAV_DELAY_HIGH^MDC||104|ms|||||F
 OBX|251|NM|731330^MDC_IDC_SET_BRADY_PAV_DELAY_LOW^MDC||103|ms|||||F
 OBX|252|CWE|731392^MDC_IDC_SET_BRADY_AT_MODE_SWITCH_MODE^MDC||754763
 ^MDC_IDC_ENUM_BRADY_MODE_DDIR^MDC|||||F
 OBX|253|NM|731456^MDC_IDC_SET_BRADY_AT_MODE_SWITCH_RATE^MDC||130|{beats}/min|||||F
 OBX|254|CWE|731520^MDC_IDC_SET_TACHYTHERAPY_VSTAT^MDC||754817
 ^MDC_IDC_ENUM_THERAPY_STATUS_On^MDC|||||F
 OBX|255|CWE|731648^MDC_IDC_SET_ZONE_TYPE^MDC|1|754945^MDC_IDC_ENUM_ZONE_TYPE_Zone_VF
 ^MDC|||||F
 OBX|256|CWE|731712^MDC_IDC_SET_ZONE_VENDOR_TYPE^MDC|1|771139
 ^MDC_IDC_ENUM_ZONE_VENDOR_TYPE_BSX-Zone_VF^MDC|||||F
 OBX|257|CWE|731776^MDC_IDC_SET_ZONE_STATUS^MDC|1|755009
 ^MDC_IDC_ENUM_ZONE_STATUS_Active^MDC|||||F
 OBX|258|NM|731840^MDC_IDC_SET_ZONE_DETECTION_INTERVAL^MDC|1|462|ms|||||F
 OBX|259|CWE|732097^MDC_IDC_SET_ZONE_TYPE_ATP_1^MDC|1|755073
 ^MDC_IDC_ENUM_ATP_TYPE_Burst^MDC|||||F
 OBX|260|NM|732161^MDC_IDC_SET_ZONE_NUM_ATP_SEQS_1^MDC|1|1|||||F
 OBX|261|NM|732225^MDC_IDC_SET_ZONE_SHOCK_ENERGY_1^MDC|1|21.1|J|||||F
 OBX|262|NM|732289^MDC_IDC_SET_ZONE_NUM_SHOCKS_1^MDC|1|1|||||F
 OBX|263|NM|732226^MDC_IDC_SET_ZONE_SHOCK_ENERGY_2^MDC|1|31.1|J|||||F
 OBX|264|NM|732290^MDC_IDC_SET_ZONE_NUM_SHOCKS_2^MDC|1|1|||||F
 OBX|265|NM|732227^MDC_IDC_SET_ZONE_SHOCK_ENERGY_3^MDC|1|41.1|J|||||F
 OBX|266|NM|732291^MDC_IDC_SET_ZONE_NUM_SHOCKS_3^MDC|1|6|||||F
 OBX|267|CWE|731648^MDC_IDC_SET_ZONE_TYPE^MDC|2|754946^MDC_IDC_ENUM_ZONE_TYPE_Zone_VT
 ^MDC|||||F
 OBX|268|CWE|731712^MDC_IDC_SET_ZONE_VENDOR_TYPE^MDC|2|771137
 ^MDC_IDC_ENUM_ZONE_VENDOR_TYPE_BSX-Zone_VT^MDC|||||F
 OBX|269|CWE|731776^MDC_IDC_SET_ZONE_STATUS^MDC|2|755009
 ^MDC_IDC_ENUM_ZONE_STATUS_Active^MDC|||||F
 OBX|270|NM|731840^MDC_IDC_SET_ZONE_DETECTION_INTERVAL^MDC|2|463|ms|||||F
 OBX|271|CWE|732097^MDC_IDC_SET_ZONE_TYPE_ATP_1^MDC|2|755073
 ^MDC_IDC_ENUM_ATP_TYPE_Burst^MDC|||||F
 OBX|272|NM|732161^MDC_IDC_SET_ZONE_NUM_ATP_SEQS_1^MDC|2|2|||||F
 OBX|273|CWE|732098^MDC_IDC_SET_ZONE_TYPE_ATP_2^MDC|2|755074
 ^MDC_IDC_ENUM_ATP_TYPE_Ramp^MDC|||||F
 OBX|274|NM|732162^MDC_IDC_SET_ZONE_NUM_ATP_SEQS_2^MDC|2|3|||||F
 OBX|275|NM|732225^MDC_IDC_SET_ZONE_SHOCK_ENERGY_1^MDC|2|22.2|J|||||F
 OBX|276|NM|732289^MDC_IDC_SET_ZONE_NUM_SHOCKS_1^MDC|2|1|||||F
 OBX|277|NM|732226^MDC_IDC_SET_ZONE_SHOCK_ENERGY_2^MDC|2|32.2|J|||||F
 OBX|278|NM|732290^MDC_IDC_SET_ZONE_NUM_SHOCKS_2^MDC|2|1|||||F
 OBX|279|NM|732227^MDC_IDC_SET_ZONE_SHOCK_ENERGY_3^MDC|2|42.2|J|||||F
 OBX|280|NM|732291^MDC_IDC_SET_ZONE_NUM_SHOCKS_3^MDC|2|3|||||F
 OBX|281|CWE|731648^MDC_IDC_SET_ZONE_TYPE^MDC|3|754946^MDC_IDC_ENUM_ZONE_TYPE_Zone_VT
 ^MDC|||||F
 OBX|282|CWE|731712^MDC_IDC_SET_ZONE_VENDOR_TYPE^MDC|3|771138
 ^MDC_IDC_ENUM_ZONE_VENDOR_TYPE_BSX-Zone_VT-1^MDC|||||F
 OBX|283|CWE|731776^MDC_IDC_SET_ZONE_STATUS^MDC|3|755009
 ^MDC_IDC_ENUM_ZONE_STATUS_Active^MDC|||||F
 OBX|284|NM|731840^MDC_IDC_SET_ZONE_DETECTION_INTERVAL^MDC|3|465|ms|||||F
 OBX|285|CWE|732097^MDC_IDC_SET_ZONE_TYPE_ATP_1^MDC|3|755074
 ^MDC_IDC_ENUM_ATP_TYPE_Ramp^MDC|||||F
 OBX|286|NM|732161^MDC_IDC_SET_ZONE_NUM_ATP_SEQS_1^MDC|3|4|||||F
 OBX|287|CWE|732098^MDC_IDC_SET_ZONE_TYPE_ATP_2^MDC|3|755076
 ^MDC_IDC_ENUM_ATP_TYPE_RampScan^MDC|||||F
 OBX|288|NM|732162^MDC_IDC_SET_ZONE_NUM_ATP_SEQS_2^MDC|3|5|||||F

OBX|289|NM|732225^MDC_IDC_SET_ZONE_SHOCK_ENERGY_1^MDC|3|23.2|J||||F
 OBX|290|NM|732289^MDC_IDC_SET_ZONE_NUM_SHOCKS_1^MDC|3|1||||F
 OBX|291|NM|732226^MDC_IDC_SET_ZONE_SHOCK_ENERGY_2^MDC|3|33.2|J||||F
 OBX|292|NM|732290^MDC_IDC_SET_ZONE_NUM_SHOCKS_2^MDC|3|1||||F
 OBX|293|NM|732227^MDC_IDC_SET_ZONE_SHOCK_ENERGY_3^MDC|3|43.2|J||||F
 OBX|294|NM|732291^MDC_IDC_SET_ZONE_NUM_SHOCKS_3^MDC|3|2||||F
 OBX|295|DTM|737489^MDC_IDC_STAT_DTM_START^MDC||20120522||||F
 OBX|296|DTM|737490^MDC_IDC_STAT_DTM_END^MDC||20120522||||F
 OBX|297|DTM|737505^MDC_IDC_STAT_BRADY_DTM_START^MDC||20120522||||F
 OBX|298|DTM|737506^MDC_IDC_STAT_BRADY_DTM_END^MDC||20120522||||F
 OBX|299|NM|737520^MDC_IDC_STAT_BRADY_RA_PERCENT_PACED^MDC||0|%||||F
 OBX|300|NM|737536^MDC_IDC_STAT_BRADY_RV_PERCENT_PACED^MDC||0|%||||F
 OBX|301|DTM|737777^MDC_IDC_STAT_CRT_DTM_START^MDC||20120522||||F
 OBX|302|DTM|737778^MDC_IDC_STAT_CRT_DTM_END^MDC||20120522||||F
 OBX|303|NM|737792^MDC_IDC_STAT_CRT_LV_PERCENT_PACED^MDC||0|%||||F
 OBX|304|CWE|737952^MDC_IDC_STAT_EPISODE_TYPE^MDC|1|754882
 ^MDC_IDC_ENUM_EPISODE_TYPE_Epis_VT^MDC||||F
 OBX|305|CWE|737984^MDC_IDC_STAT_EPISODE_VENDOR_TYPE^MDC|1|771077
 ^MDC_IDC_ENUM_EPISODE_VENDOR_TYPE_BSX-Epis_NSVT^MDC||||F
 OBX|306|NM|738000^MDC_IDC_STAT_EPISODE_RECENT_COUNT^MDC|1|0||||F
 OBX|307|DTM|738017^MDC_IDC_STAT_EPISODE_RECENT_COUNT_DTM_START^MDC|1|20120522||||F
 OBX|308|DTM|738018^MDC_IDC_STAT_EPISODE_RECENT_COUNT_DTM_END^MDC|1|20120522||||F
 OBX|309|CWE|737952^MDC_IDC_STAT_EPISODE_TYPE^MDC|1|754882
 ^MDC_IDC_ENUM_EPISODE_TYPE_Epis_VT^MDC||||F
 OBX|310|CWE|737984^MDC_IDC_STAT_EPISODE_VENDOR_TYPE^MDC|1|771077
 OBX|311|NM|738000^MDC_IDC_STAT_EPISODE_RECENT_COUNT^MDC|1|0||||F
 OBX|312|DTM|738017^MDC_IDC_STAT_EPISODE_RECENT_COUNT_DTM_START^MDC|1|20120522||||F
 OBX|313|DTM|738018^MDC_IDC_STAT_EPISODE_RECENT_COUNT_DTM_END^MDC|1|20120522||||F
 OBX|314|CWE|737952^MDC_IDC_STAT_EPISODE_TYPE^MDC|2|754884
 ^MDC_IDC_ENUM_EPISODE_TYPE_Epis_SVT^MDC||||F
 OBX|315|CWE|737984^MDC_IDC_STAT_EPISODE_VENDOR_TYPE^MDC|2|771076
 ^MDC_IDC_ENUM_EPISODE_VENDOR_TYPE_BSX-Epis_SVT^MDC||||F
 OBX|316|NM|738000^MDC_IDC_STAT_EPISODE_RECENT_COUNT^MDC|2|0||||F
 OBX|317|DTM|738017^MDC_IDC_STAT_EPISODE_RECENT_COUNT_DTM_START^MDC|2|20120522||||F
 OBX|318|DTM|738018^MDC_IDC_STAT_EPISODE_RECENT_COUNT_DTM_END^MDC|2|20120522||||F
 OBX|319|CWE|737952^MDC_IDC_STAT_EPISODE_TYPE^MDC|4|754883
 ^MDC_IDC_ENUM_EPISODE_TYPE_Epis_ATAF^MDC||||F
 OBX|320|CWE|737984^MDC_IDC_STAT_EPISODE_VENDOR_TYPE^MDC|4|771078
 ^MDC_IDC_ENUM_EPISODE_VENDOR_TYPE_BSX-Epis_ATR^MDC||||F
 OBX|321|NM|738000^MDC_IDC_STAT_EPISODE_RECENT_COUNT^MDC|4|0||||F
 OBX|322|DTM|738017^MDC_IDC_STAT_EPISODE_RECENT_COUNT_DTM_START^MDC|4|20120522||||F
 OBX|323|DTM|738018^MDC_IDC_STAT_EPISODE_RECENT_COUNT_DTM_END^MDC|4|20120522||||F
 OBX|324|CWE|737952^MDC_IDC_STAT_EPISODE_TYPE^MDC|5|754888
 ^MDC_IDC_ENUM_EPISODE_TYPE_Epis_Other^MDC||||F
 OBX|325|CWE|737984^MDC_IDC_STAT_EPISODE_VENDOR_TYPE^MDC|5|771077
 OBX|326|NM|738000^MDC_IDC_STAT_EPISODE_RECENT_COUNT^MDC|5|0||||F
 OBX|327|DTM|738017^MDC_IDC_STAT_EPISODE_RECENT_COUNT_DTM_START^MDC|5|20120522||||F
 OBX|328|DTM|738018^MDC_IDC_STAT_EPISODE_RECENT_COUNT_DTM_END^MDC|5|20120522||||F
 OBX|329|CWE|737952^MDC_IDC_STAT_EPISODE_TYPE^MDC|6|754881
 ^MDC_IDC_ENUM_EPISODE_TYPE_Epis_VF^MDC||||F
 OBX|330|CWE|737984^MDC_IDC_STAT_EPISODE_VENDOR_TYPE^MDC|6|771073
 ^MDC_IDC_ENUM_EPISODE_VENDOR_TYPE_BSX-Epis_VF^MDC||||F
 OBX|331|NM|738000^MDC_IDC_STAT_EPISODE_RECENT_COUNT^MDC|6|1||||F
 OBX|332|DTM|738017^MDC_IDC_STAT_EPISODE_RECENT_COUNT_DTM_START^MDC|6|20120522||||F
 OBX|333|DTM|738018^MDC_IDC_STAT_EPISODE_RECENT_COUNT_DTM_END^MDC|6|20120522||||F
 OBX|334|CWE|737952^MDC_IDC_STAT_EPISODE_TYPE^MDC|7|754882
 ^MDC_IDC_ENUM_EPISODE_TYPE_Epis_VT^MDC||||F
 OBX|335|CWE|737984^MDC_IDC_STAT_EPISODE_VENDOR_TYPE^MDC|7|771074
 ^MDC_IDC_ENUM_EPISODE_VENDOR_TYPE_BSX-Epis_VT^MDC||||F
 OBX|336|NM|738000^MDC_IDC_STAT_EPISODE_RECENT_COUNT^MDC|7|2||||F
 OBX|337|DTM|738017^MDC_IDC_STAT_EPISODE_RECENT_COUNT_DTM_START^MDC|7|20120522||||F
 OBX|338|DTM|738018^MDC_IDC_STAT_EPISODE_RECENT_COUNT_DTM_END^MDC|7|20120522||||F
 OBX|339|CWE|737952^MDC_IDC_STAT_EPISODE_TYPE^MDC|8|754882
 ^MDC_IDC_ENUM_EPISODE_TYPE_Epis_VT^MDC||||F

```

OBX|340|CWE|737984^MDC_IDC_STAT_EPISODE_VENDOR_TYPE^MDC|8|771075
^MDC_IDC_ENUM_EPISODE_VENDOR_TYPE_BSX-Epis_VT-1^MDC||||F
OBX|341|NM|738000^MDC_IDC_STAT_EPISODE_RECENT_COUNT^MDC|8|3||||F
OBX|342|DTM|738017^MDC_IDC_STAT_EPISODE_RECENT_COUNT_DTM_START^MDC|8|20120522||||F
OBX|343|DTM|738018^MDC_IDC_STAT_EPISODE_RECENT_COUNT_DTM_END^MDC|8|20120522||||F
OBX|344|CWE|737952^MDC_IDC_STAT_EPISODE_TYPE^MDC|9|754884
^MDC_IDC_ENUM_EPISODE_TYPE_Epis_Monitor^MDC||||F
OBX|345|CWE|737984^MDC_IDC_STAT_EPISODE_VENDOR_TYPE^MDC|9||||F
OBX|346|NM|738000^MDC_IDC_STAT_EPISODE_RECENT_COUNT^MDC|9|4||||F
OBX|347|DTM|738017^MDC_IDC_STAT_EPISODE_RECENT_COUNT_DTM_START^MDC|9|20120522||||F
OBX|348|DTM|738018^MDC_IDC_STAT_EPISODE_RECENT_COUNT_DTM_END^MDC|9|20120522||||F

```

Outdated version. Do not use.
 Version überholt. Nicht verwenden.
 Version obsolete. Ne pas utiliser.
 Versión obsoleta. No utilizar.
 Versione obsoleta. Non utilizzate.
 Verouderde versie. Niet gebruiken.
 Παλιά έκδοση. Μην την χρησιμοποιείτε.
 Versão obsoleta. Não utilize.
 Föråldrad version. Använd ej.
 Zastaralá verze. Nepoužívat.
 Utdatert versjon. Skal ikke brukes.
 Zastaraná verzia. Nepoužívať.
 Elavult verzió. Ne használja!
 Wersja nieaktualna. Nie używać.

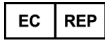
Outdated version. Do not use.
Version überholt. Nicht verwenden.
Version obsolète. Ne pas utiliser.
Versión obsoleta. No utilizar.
Versione obsoleta. Non utilizzare.
Verouderde versie. Niet gebruiken.
Föråldrad version. Använd ej.
Παλιά έκδοση. Μην χρησιμοποιείτε.
Versão obsoleta. Não utilize.
Forældet version. Må ikke anvendes.
Zastaralá verze. Nepoužívat.
Utdatert versjon. Skal ikke brukes.
Zastaraná verzia. Nepoužívať.
Elavult verzió. Ne használja!
Wersja nieaktualna. Nie używać.

Outdated version. Do not use.
Version überholt. Nicht verwenden.
Version obsolète. Ne pas utiliser.
Versión obsoleta. No utilizar.
Versione obsoleta. Non utilizzare.
Verouderde versie. Niet gebruiken.
Föråldrad version. Använd ej.
Παλιά έκδοση. Μην την χρησιμοποιείτε.
Versão obsoleta. Não utilize.
Forældet version. Må ikke anvendes.
Zastaralá verze. Nepoužívat.
Utdatert versjon. Skal ikke brukes.
Zastaraná verzia. Nepoužívať.
Elavult verzió. Ne használja!
Wersja nieaktualna. Nie używać.

Boston Scientific



Boston Scientific
4100 Hamline Avenue North
St. Paul, MN 55112-5798 USA



Guidant Europe NV/SA; Boston Scientific
Green Square, Lambroekstraat 5D
1831 Diegem, Belgium

1.800.CARDIAC (227.3422)
+1.651.582.4000

www.bostonscientific.com

© 2014 Boston Scientific Corporation or its affiliates.
All rights reserved.

359273-014 ES Europe 2014-05

Outdated version. Do not use.
Version überholt. Nicht verwenden.
Version obsolete. Ne pas utiliser.
Versión obsoleta. No utilizar.
Versione obsoleta. Non utilizzare.
Verouderde versie. Niet gebruiken.
Föråldrad version. Använd ej.
Παλιά έκδοση. Μην την χρησιμοποιείτε.
Versão obsoleta. Não utilize.
Forældet version. Må ikke anvendes.
Zastaralá verze. Nepoužívat.
Utdatert versjon. Skal ikke brukes.
Zastaraná verzia. Nepoužívať.
Elavult verzió. Ne használja!
Wersja nieaktualna. Nie używać.

C E0086

